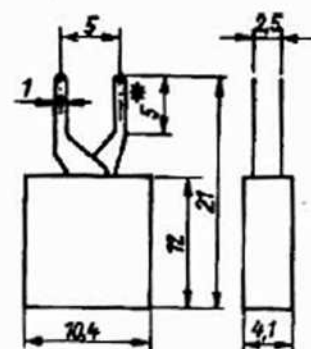


Selenkleinrichtgerichte für gedruckte Schaltungen

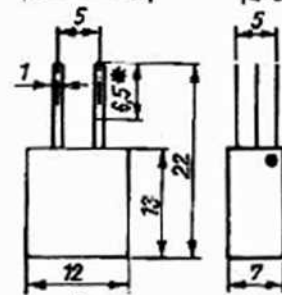
Селеновые миниатюрные выпрямители для печатанных схем коммутации

Selenium subminiature rectifiers for printed circuits

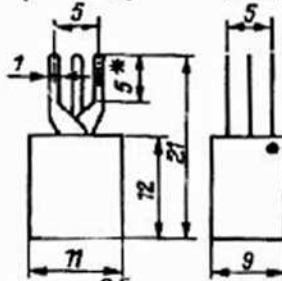
Typ	Kenndaten bei $\theta_a = -40...+40^\circ\text{C}$		Gehäuse- abmessungen
	U_{AN} V	I_{FN} mA	
E 20 C 60	20	60	4 x 10 x 12
E 25 C 60	25	60	4 x 10 x 12
E 50 C 80	50	80	7 x 12 x 13
E 60 C 70	60	70	7 x 12 x 13
E 75 C 70	75	70	7 x 12 x 13
E 100 C 40	100	40	9 x 11 x 12
E 125 C 40	125	40	9 x 11 x 12
M 20 C 120	20	120	4 x 10 x 12
M 25 C 120	25	120	4 x 10 x 12
M 60 C 140	60	140	7 x 12 x 13
M 75 C 140	75	140	7 x 12 x 13
M 80 C 80	80	80	9 x 11 x 12
M 100 C 80	100	80	9 x 11 x 12
V 10 C 60	10	60	4 x 10 x 12
V 12,5 C 60	12,5	60	4 x 10 x 12
V 30 C 70	30	70	7 x 12 x 13
V 37 C 70	37	70	7 x 12 x 13
V 40 C 40	40	40	9 x 11 x 12
V 50 C 40	50	40	9 x 11 x 12
B 20 C 25	20	25	7 x 7 x 8
B 25 C 25	25	25	7 x 7 x 8
B 20 C 200	20	200	7 x 12 x 13
B 25 C 200	25	200	7 x 12 x 13
B 40 C 80	40	80	9 x 11 x 12
B 50 C 80	50	80	9 x 11 x 12



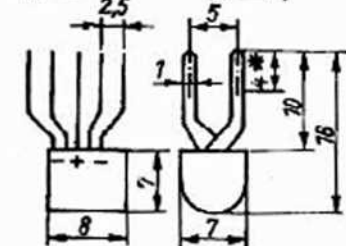
E 20 C 60
E 25 C 60
M 20 C 120
M 25 C 120
V 10 C 60
V 12,5 C 60



M 50 C 80
E 60 C 70
E 75 C 70
V 30 C 70
V 37 C 70
M 60 C 140
M 75 C 140
B 20 C 200
B 25 C 200



E 100 C 40
E 125 C 40
M 80 C 80
M 100 C 80
V 40 C 40
V 50 C 40
B 40 C 80
B 100 C 80



B 20 C 25
B 25 C 25

* lötlbar
Polaritätskennzeichnung (roter Punkt)
bei E-Schaltung

Kurzzzeichen

A	wirksame Fläche	I_Z	Z-Strom	U_{CESat}	Kollektor-Emitter-Sättigungsspannung
C_c	Gehäusekapazität	ΔI_Z	Stabilität des Z-Stroms	U_{CEV}	Kollektor-Emitter-Sperrspannung bei in Sperrichtung vorgepannter Emitterdiode
C_{gss}	Eingangskapazität	I_O	Ausgangsstrom	U_D	Blockierspannung
C_j	Sperrschichtkapazität	I_{O_0}	Richtstrom	U_{DB}	Drain-Bulk-Spannung
C_L	Lastkapazität	ΔI_{O_0}	Richtstromdifferenz	U_{DG}	Drain-Gate-Spannung
C_{tot}	Gesamtkapazität	l	Länge	U_{DM}	Scheitelblockierspannung
CMR	Gleichtaktunterdrückung	L	Leuchtdichte	\hat{U}_{DR}	Periodische Spitzenblockierspannung
$d_{\dot{u}}$	Übertragungsdämpfung	L_S	Serieninduktivität	\hat{U}_{DS}	Nichtperiodische Spitzenblockierspannung
E	Beleuchtungsstärke	N_O	Ausgangslastfaktor	U_{DS}	Drain-Source-Spannung
F	Rauschfaktor	P_{in}	HF-Eingangsleistung	U_e	Eingangsspannung
f	Frequenz	\hat{P}_{RS}	Nichtperiodische Sperrverlustleistung	U_{EBO}	Emitter-Basis-Sperrspannung
f_{h21b}	Grenzfrequenz in Basisschaltung	P_{tot}	Totale Verlustleistung	U_F	Durchlaßgleichspannung
f_{h21e}	Grenzfrequenz in Emitterschaltung	$R_{\dot{a}q}$	Äquivalentwiderstand	U_{GB}	Gate-Bulk-Spannung
f_Q	Gütegrenzfrequenz	R_{BE}	Basis-Emitter-Widerstand	U_{GS}	Gate-Source-Spannung
f_T	Transitgrenzfrequenz	R_{DS}	Drain-Source-Widerstand	U_{GT}	Zündspannung
G_{pb}	HF-Leistungsverstärkung in Basisschaltung	R_e	Eingangswiderstand	U_{HF}	HF-Spannung
h	Höhe	R_g	Generatorwiderstand	U_I	Gleichtakteingangsspannung
h_{21E}	Gleichstromverstärkung	R_L	Lastwiderstand	U_{ID}	Differenzeingangsspannung
h_{21e}	Kurzschlußstromverstärkung in Emitterschaltung	R_{th}	Gesamtwärmewiderstand	U_{IO}	Eingangsoffsetspannung
I_B	Basisstrom	R_{thi}	Innerer Wärmewiderstand	U_R	Sperrspannung, Sperrgleichspannung
I_C	Kollektorstrom	r_F	Durchlaßwiderstand	U_{RM}	Scheitelsperrspannung
I_{CBO}	Kollektorreststrom bei offenem Emitter	r_R	Sperrwiderstand	\hat{U}_{RR}	Periodische Sperrspannung
I_{CES}	Kollektor-Emitter-Reststrom	r_Z	Z-Widerstand	\hat{U}_{RS}	Nichtperiodische Sperrspannung
I_{CEV}	Kollektorreststrom bei in Sperrichtung vorgepannter Emitterdiode	S	Empfindlichkeit	U_S	Betriebsspannung
I_D	Drainstrom	t _{DHL}	Einschaltverzögerungszeit	U_{SB}	Source-Bulk-Spannung
I_{D_0}	Blockierstrom	t _{DLH}	Ausschaltverzögerungszeit	U_T	Schwellspannung
\hat{I}_{DR}	Drainspitzenstrom	t _{gt}	Zündzeit	U_Z	Z-Spannung
I_e	Strahlstärke	t _{off}	Ausschaltzeit	ΔU_Z	Stabilität der Z-Spannung
I_F	Flußstrom, Durchlaßgleichstrom	t _{on}	Einschaltzeit	U_{OH}	High-Ausgangsspannung
\bar{I}_F	Dauergrenzstrom	t _q	Freiwerdzeit	U_{OL}	Low-Ausgangsspannung
\hat{I}_F	Effektiver Durchlaßstrom	t _r	Anstiegzeit	V_U	Spannungsverstärkung
I_{FM}	Scheiteldurchlaßstrom	t _{rr}	Sperrholungszeit	Y_{21}	Steilheit
I_{FN}	Nenndurchlaßstrom, Nenngleichstrom	t _s	Speicherzeit	θ_a	Umgebungstemperatur
\hat{I}_{FR}	Periodischer Spitzenstrom	TK _{UZ}	Temperaturkoeffizient der Z-Spannung	θ_c	Gehäusetemperatur
\hat{I}_{FS}	Nichtperiodischer Spitzenstrom	U_{AN}	Nennanschlußspannung (Effektivwert)	θ_j	Sperrschichttemperatur
I_{GT}	Zündstrom	U_{BE}	Basis-Emitter-Spannung	$\Delta\theta$	Temperaturdifferenz
I_H	Haltestrom	$U_{(BR)}$	Durchbruchspannung	λ	Emissionswellenlänge
I_I	Eingangsbiasstrom	U_{CB}	Kollektor-Basis-Spannung	λ_p	Wellenlänge maximaler Emission
I_{IO}	Eingangsoffsetstrom	U_{CBO}	Kollektor-Basis-Sperrspannung	$\Delta\lambda$	Spektrale Halbwertsbreite
I_R	Sperrstrom	U_{CE}	Kollektor-Emitter-Spannung	τ_i	Einschaltzeitkonstante
I_T	Durchlaßstrom	U_{CEO}	Kollektor-Emitter-Sperrspannung bei offener Basis		
\bar{I}_T	Dauergrenzstrom	U_{CER}	Kollektor-Emitter-Sperrspannung bei endlichem Basis-Emitter-Widerstand		
\hat{I}_T	Effektiver Durchlaßstrom	U_{CERest}	Kollektorrestspannung		
\hat{I}_{TR}	Periodischer Spitzenstrom	U_{CES}	Kollektorsperrspannung bei kurzgeschlossenem Emitterdiode		